

大阪大学工学部 正会員 前田 幸雄
 川田工業(株) 正会員 ○前田 研一
 川田工業(株) 正会員 米田 昌弘

1. まえがき 著者らは、前に、内部共振に起因するケーブルの減衰吸振器とての作用によるbeating現象を支配的な要因とするシステムダンピングが、斜張橋のため風琴振動の抑制に有効であることを示した¹⁾。本報告は、さらに、ねじれ風琴振動における効果を把握するとともに、主桁のみならず、ケーブルに空気力が作用する場合についても検討することを目的としたものである。

2. 複素固有値問題の解析解

本章では、ため風琴振動の場合と同様に、斜張橋に擬した簡単なケーブル構造を対象として、複素固有値問題の解析解を求め、ねじれ風琴振動におけるシステムダンピング効果を検討する。ただし、ここでは、主桁のみならず、ケーブルに空気力が作用する場合についても検討することもあり、部分構造とての主桁とケーブルの内部共振によて生じる各々の成分による2種の相似達成固有振動モードに対応して、明らかに構造減衰と同様に配分される空力減衰項を考慮に入ることとする。

図-1が対象とする簡単なケーブル構造であり、2自由度のねじれ風琴振動の運動方程式は、 $m_0 = \alpha^2(m_g + m_c/2)$ とて、次式のようく表わされる。

$$\begin{bmatrix} m_0 & 0 \\ 0 & m_c \end{bmatrix} \begin{bmatrix} \ddot{\theta}_g \\ \ddot{x}_c \end{bmatrix} + \begin{bmatrix} C_0 & 0 \\ 0 & C_0 \end{bmatrix} \begin{bmatrix} \dot{\theta}_g \\ \dot{x}_c \end{bmatrix} + \begin{bmatrix} k_{gg} & k_{gc} \\ k_{gc} & k_{cc} \end{bmatrix} \begin{bmatrix} \theta_g \\ x_c \end{bmatrix} = \begin{bmatrix} f_{ig} & 0 \\ 0 & f_{ic} \end{bmatrix} \begin{bmatrix} \dot{\theta}_g \\ \dot{x}_c \end{bmatrix} \quad \dots \dots \dots \quad (1)$$

ここに、 f_{ig} , f_{ic} が空力減衰マトリックス $\{F_i\}$ の要素である。つきに、図-2, 3に示すモデルを考え、 $\bar{\omega} = \omega_0 = \omega_c$, $\theta_g = X_0 e^{i\omega t}$, $x_c = X_c e^{i\omega t}$ を代入して導かれる振動方程式を解けば、共役複素固有値の近似値が次式で与えられる。

$$\begin{aligned} \alpha_1 &= i \left\{ \left(\frac{h_0 + h_c}{2} \right) \bar{\omega} - \frac{1}{2} \left(\frac{h_0^* + h_c^*}{2} \right) \right\} \pm \sqrt{\bar{\omega}^2 \left(1 - \left(\frac{h_0 + h_c}{2} \right)^2 \right) - \alpha}, \quad \bar{\omega} = \omega_0 = \omega_c \\ \alpha_2 &= i \left\{ \left(\frac{h_0 + h_c}{2} \right) \bar{\omega} - \frac{1}{2} \left(\frac{h_0^* + h_c^*}{2} \right) \right\} \pm \sqrt{\bar{\omega}^2 \left(1 - \left(\frac{h_0 + h_c}{2} \right)^2 \right) + \alpha}, \quad \alpha = \frac{k_{gg}}{m_0} = \frac{k_{gc}}{m_c} \end{aligned} \quad (2)$$

また、固有円振動数、正規化された固有振動モードは次式で与えられる。

$$\omega_1 = \sqrt{\bar{\omega} - \alpha}, \quad \omega_2 = \sqrt{\bar{\omega} + \alpha}, \quad \{ \text{重}_1 \} = \left\{ \frac{1}{\sqrt{2m_0}}, \frac{-1}{\sqrt{2m_0}} \right\}, \quad \{ \text{重}_2 \} = \left\{ \frac{1}{\sqrt{2m_c}}, \frac{1}{\sqrt{2m_c}} \right\} \dots \dots \dots \quad (3)$$

ここに、 h_0^* , h_c^* は、図-2, 3のモデルの正規化された固有振動モードを $\{ \text{重}_1 \}$, $\{ \text{重}_2 \}$ とて、次式のような関係式を満足するものである。

$$\begin{aligned} h_0^* &= \frac{f_{ig}}{m_0} = \{ \text{重}_1 \} \{ F_i \} \{ \text{重}_1 \}, \quad h_c^* = \frac{f_{ic}}{m_c} = \{ \text{重}_2 \} \{ F_i \} \{ \text{重}_2 \} \\ \frac{h_0^* + h_c^*}{2} &= \{ \text{重}_1 \} \{ F_i \} \{ \text{重}_2 \} = \{ \text{重}_1 \} \{ F_i \} \{ \text{重}_1 \} + \{ \text{重}_2 \} \{ F_i \} \{ \text{重}_2 \} \end{aligned} \quad \dots \dots \dots \quad (4)$$

ゆえに、主桁、あるいは、ケーブルの各々に空気力が作用する場合（同時に作用することはほとんどないと思われる）に対応して、

$$2 \left(\frac{h_0 + h_c}{2} \right) \bar{\omega} - \frac{h_0^* + h_c^*}{2} > 2h_0 \bar{\omega} - h_0^*, \quad 2 \left(\frac{h_0 + h_c}{2} \right) \bar{\omega} - \frac{h_0^* + h_c^*}{2} > 2h_c \bar{\omega} - h_c^* \quad \dots \dots \dots \quad (5)$$

がシステムダンピングの一条件式となることがわかる²⁾。

3. 時系列応答解析法 2種の固有振動モードを対象としたねじれ風琴振動の時系列応答解析法は、ため風琴振動の場合と全く同様である。なお、多自由度の場合にも、内部共振の度合にも関係なく、 $\{ \text{重}_1 \} \{ F_i \} \{ \text{重}_1 \} + \{ \text{重}_2 \} \{ F_i \} \{ \text{重}_2 \} = \{ \text{重}_1 \} \{ F_i \} \{ \text{重}_1 \} + \{ \text{重}_2 \} \{ F_i \} \{ \text{重}_2 \}$ となることは、容易に確かめられる。

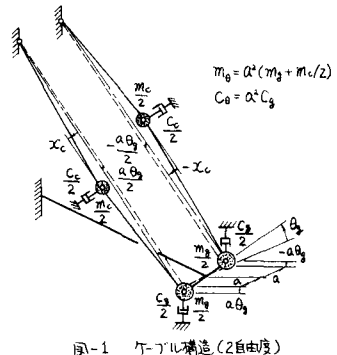


図-1 ケーブル構造(2自由度)

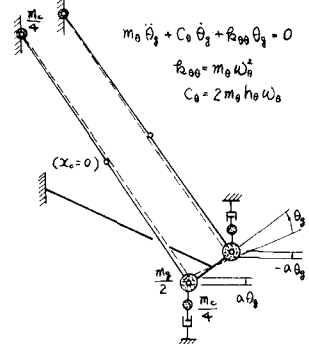


図-2 ケーブルの横振動を考慮したモデル

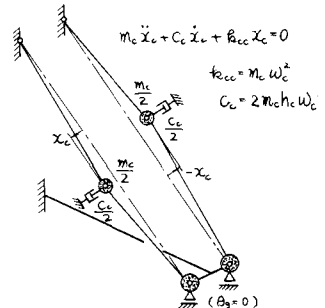


図-3 ケーブルの横振動を考慮したモデル

4. ねじれ風琴振動の時系列応答解析例

時系列応答解析例として、図-4に示す構造で、内部共振により図-5に示す2種の相似連成固有振動モードと有した解析モデルを対象に、モード重複法を適用した。主桁に作用する空気力としては図-6に、他方、ケーブルに作用する空気力としては図-7に示す非定常空気力係数によるものと、それを利用して用いたものである。

図-8、9が解析結果の一例であり、それぞれ、主桁あるいはケーブルに空気力が作用した場合における、図-4に同時に示した主桁およびケーブルの着目点の発達振幅の包絡線を描いたものである。

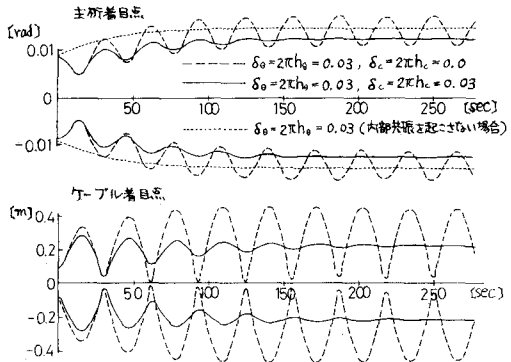


図-4 解析モデル

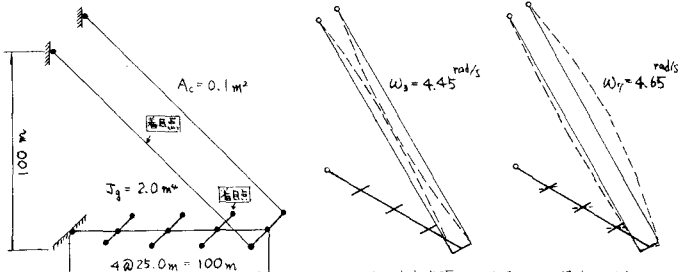


図-5 内部共振による2種の相似連成モード

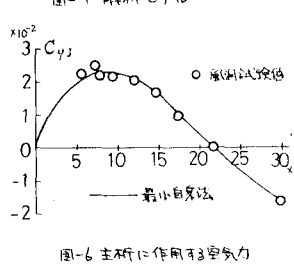


図-6 主桁に作用する空気力

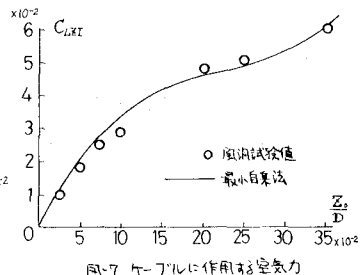


図-7 ケーブルに作用する空気力

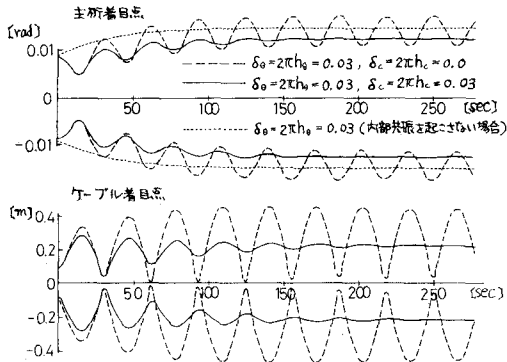


図-8 主桁に空気が作用した場合の着目点の振幅の包絡線

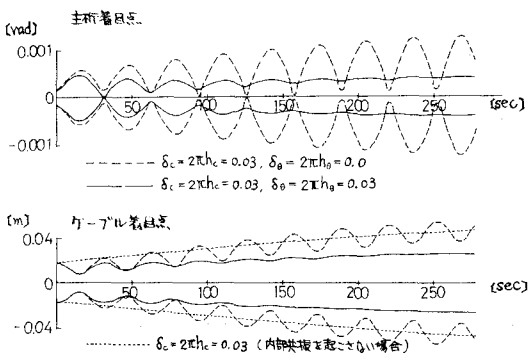


図-9 ケーブルに空気が作用した場合の着目点の振幅の包絡線

これらの図から、ねじれ風琴振動の場合にも、たわみ風琴振動の場合と同様に、主桁の減衰と同程度にケーブルの減衰があれば、内部共振に起因する要因によるシステムグンピング効果によること、定常振幅が顕著に低減されることがわかる。また、主桁に空気力が作用する場合の主桁と同様に、ケーブルに空気力が作用する場合のケーブルの風琴振動においても定常振幅が低減され、その際にあける主桁のねじれ振動は小さくなることがわかる。

5. マルチケーブル斜張橋の実橋設計例

図-10にマルチケーブル斜張橋の実橋設計例を示す。この図には主桁の対称-一次ねじれ振動および5段目ケーブルの一次の横振動の固有円振動数を同時に記しているが、両者がかなり近接した値があり、システムグンピング効果が顕著に生じることが十分に予測できると思われる。

6. あとがき

講演当日には、マルチケーブル斜張橋の解析結果を報告する予定である。最後に、本研究において常に熱心な助言、貴重な資料を頂いた、東京大学・伊藤 学教授、本間公臣・保田雅彦氏に心より謝意を表する。

参考文献

- 1) 前田・前田・木田：斜張橋のたわみ風琴振動におけるシステムグンピング効果に関する研究。工博論文報告集、No.344/I-1, 1984.
- 2) 前田・前田・木田・磯崎：斜張橋のシステムグンピングに関する一様型試験結果について。土木学会第39回年次学術講演会講演稿集、1987.
- 3) 土木学会会報：昭和59年度平野四国連絡橋鋼上部構造に関する調査報告書(別冊3)・権名島、岩黒島斜張橋(閉鎖検討)、李州四国連絡橋公团、1980.
- 4) 本州四国連絡橋公团第2建設局橋：岩黒島橋(斜張橋)主構造大型屋内実験(その2)、1980.